

Stichworte:  $E(\mathbb{Q})$ : Beispiele, Satz von Mordell, Rangvermutung, Sätze von Mazur, Nagell-Lutz, Siegel, Faltings,  $E(\mathbb{C})$ : elliptische Kurve über  $\mathbb{C} = \text{Torus}$

### § 3 Elliptische Kurven über verschiedenen Körpern

Bem.: die Fälle  $k = \mathbb{R}, \mathbb{Q}, \mathbb{C}$  sind für die Theorie von Bedeutung, nicht so sehr für die Kryptographie-Anwendungen, wo endl. Körper  $\mathbb{F}_p^n$  praktisch sind.

#### § 3.1 Elliptische Kurven über $\mathbb{Q}$

1.) Motivation: Betr. die elliptische Kurve  $E(k)$  jetzt über  $k = \mathbb{Q}$ .

Wie findet man möglichst viele rationale Punkte (d.h.  $P = (x, y) \in A^2(\mathbb{Q})$ ) auf der Kurve  $E(\mathbb{Q})$ ?  $\mathcal{O} = [0:1:0]$  ist immer einer, wie findet man affine  $P$ ?

Die expliziten Formeln zeigen:

- Ist  $P$  ein rationaler Punkt auf  $E(k)$ , so auch  $2P, 3P, 4P, \dots$
- Sind  $P, Q$  zwei rationale Punkte, so auch  $P+Q, P+(P+Q) = 2P+Q, P+(2P+Q) = 3P+Q, 4P+Q, \dots, 2P+2Q, \dots$  usw.

Können so unendlich viele rationale Punkte auf  $E(k)$  konstruiert werden? Das hängt von der Ordnung des Punktes  $P$  in der Gruppe  $(E(k), +)$  ab, d.h. von  $\text{ord}(P) = \min \{m \in \mathbb{N}; mP = \mathcal{O}\}$ , falls diese existiert. Das ist ziemlich unklar, wie auch Beispiele zeigen:

2.) Bsp.: Sei  $E(\mathbb{Q}): y^2 = x^3 + 17$ . Dann ist  $\Delta(E) = -16 \cdot 27 \cdot 17^2 \neq 0$ .

Zwei Punkte sind  $P = (-2, 3)$  und  $Q = (-1, 4)$ .

Es ist $P + Q = (4, -9)$	↳ Schmitt $G(P, Q)$ mit $E(k)$ , an x-Achsespiegeln
$2P + Q = (2, 5)$	↳ Schmitt $G(P, P+Q)$ mit $E(k)$ , an x-Achsespiegeln
$3P + Q = (\frac{1}{4}, -\frac{33}{8})$	↳ Schmitt $G(P, 2P+Q)$ mit $E(k)$ , an x-Achsespiegeln
$4P + Q = (\frac{106}{9}, \frac{1097}{27})$	⋮
$5P + Q = (-\frac{2228}{961}, -\frac{63465}{29791})$	⋮
$6P + Q = (\frac{76271}{289}, -\frac{21063928}{4913})$	⋮
⋮	⋮

Offenbar werden die Ergebnisse immer komplizierter; unendlich viele rationale Punkte können auf  $E(\mathbb{Q})$  wohl derart konstruiert werden, d.h. vermutlich hat  $P$  keine (endliche) Ordnung.

3.) Bsp.: Sei  $E(\mathbb{Q}) : y^2 = x^3 + x$ . Der einzige affine rationale Punkt auf  $E(\mathbb{Q})$  ist  $P = (0, 0)$ . Dies kann direkt gezeigt werden unter Verwendung, dass die Gleichung  $u^4 + v^4 = w^2$  nur ganzzahlige Lösungen mit  $u = 0$  oder  $v = 0$  hat (was auch schon nicht so schnell zu zeigen ist). Es kann dennoch gesagt werden, dass durch  $P, 2P = \mathcal{O}, 3P = P, 4P = \mathcal{O}, \dots$  alle rationalen Punkte auf  $E(\mathbb{Q})$  konstruiert werden können.

4.) Bsp.: Sei  $E(\mathbb{Q}) : y^2 = x^3 - 4x^2 + 16$ . Dann ist  $\Delta(E) = -16 \cdot (4(-4)^3 + 27 \cdot 16^2) \neq 0$ . Eine kurze Suche liefert die 4 rationalen Punkte  $P_1 = (0, 4), P_2 = (4, 4), P_3 = (0, -4) = -P_1, P_4 = (4, -4) = -P_2$ . Können hier wie in Bsp. 2.) beliebig viele rationale Punkte konstruiert werden?

Hier ist die Gerade durch  $P_1$  und  $P_2$  die Tangente an  $E(k)$  in  $P_1$ , weil  $4^2 = x^3 - 4x^2 + 16 \Leftrightarrow 0 = x^2(x - 4)$  ist und  $x = 0$  doppelte Nst. Damit ist  $-P_1 = P_1 + P_2 = P_3$ , also kann so kein weiterer rationaler Punkt konstruiert werden. Auch mit anderen Paaren  $P_i$  und  $P_j$  der 4 Punkte passiert dies. Vermutlich gibt es außer den 4 angegebenen rationalen Punkten keine weiteren auf  $E(\mathbb{Q})$ .

Wir haben  $P_1 = (0, 4), 2P_1 = -P_2 = P_4, 3P_1 = P_1 + P_4 = P_2, 4P_1 = P_1 + P_2 = P_3, 5P_1 = P_3 + P_1 = (P_1 + P_2) + P_1 = 2P_1 + P_2 = -P_2 + P_2 = \mathcal{O}$ , d.h.  $\text{ord}(P_1) = 5$ .

$$\leadsto \langle P_1 \rangle = \mathbb{Z}_5, \langle P_1 \rangle = \{ \mathcal{O}, P_1, P_2, P_3, P_4 \}$$

5.) Die Beispiele legen folgenden Satz nahe:

Satz von Mordell (1922):

Sei  $E(\mathbb{Q})$  eine elliptische Kurve über  $\mathbb{Q}$ .

Dann gibt es eine endliche Liste von Punkten  $P_1, \dots, P_s \in E(\mathbb{Q})$ , so dass alle (rationalen) Punkte auf  $E(\mathbb{Q})$  von diesen erzeugt werden, d.h.  $\forall P \in E(\mathbb{Q}) \exists m_1, \dots, m_s \in \mathbb{N}_0 : P = m_1 P_1 + \dots + m_s P_s$ .

M.a.W.: die Gruppe  $(E(\mathbb{Q}), +)$  ist endlich erzeugt.

- Dabei können die Erzeuger endliche Ordnung haben oder nicht.
- Natürlich sind die Erzeuger nicht unbedingt eindeutig bestimmt.

- 6.) Bem.: In Bsp. 3.) haben wir einen endlichen Erzeuger  $P_n = (0, 0)$ ,  $\text{ord}(P_n) = 2$ ,  
in Bsp. 4.) haben wir ev. einen endlichen Erzeuger  $P_n = (0, 4)$ ,  $\text{ord}(P_n) = 5$ .  
In Bsp. 2.) haben wir ev. einen unendlichen Erzeuger  $P_n = (-2, 3)$ , welcher  
ev. nicht der einzige ist. Die von  $P_n$  erzeugte Untergruppe  
 $\mathbb{Z} \cdot P_n := \{m P_n; m \in \mathbb{Z}\} \subseteq E(\mathbb{Q})$  ist isomorph zu  $\mathbb{Z}$   
vermöge  $\mathbb{Z} \cdot P_n \cong \mathbb{Z}$ ,  $m \cdot P_n \mapsto m$ .
- 7.) Wir können in der Formulierung von 5.) die Unterscheidung zwischen Punkten  
mit und ohne endlicher Ordnung vornehmen.  
Die Teilmenge  $T := \{P \in E(\mathbb{Q}); \text{ord}(P) \in \mathbb{N}\}$  aller Punkte von  $E(\mathbb{Q})$   
mit endlicher Ordnung ist offenbar eine Untergruppe, die  
Torsionsgruppe von  $E(\mathbb{Q})$  heißt. Somit hat der Satz von Mordell  
auch die folgende Formulierung:
- 8.) Satz von Mordell, Formulierung als Aussage über die Gruppenstruktur:  
Es gibt ein  $r \in \mathbb{N}_0$  mit  $E(\mathbb{Q}) \cong \underbrace{\mathbb{Z}^r}_{\text{Gruppe bzgl. +}} \times T$ .  
 $\uparrow$  komponentenweise Addition
- 9.) Def.: Die Zahl  $r(E)$  heißt Rang von  $E(\mathbb{Q})$ .
- 10.) Bem.: Die Torsionsgruppe  $T$  ist stets endlich, wie aus dem  
Struktursatz über endlich erzeugte abelsche Gruppen gefolgt werden kann.  
Allerdings bleiben Größe von  $T$  und Lage der Torsionspunkte  $P \in T$   
damit unbekannt.  
Weiter kann aber  $\#E(\mathbb{Q}) = \infty \Leftrightarrow r(E) > 0$  gefolgt werden.
- 11.) Bsp.: •  $E(\mathbb{Q}): y^2 = x^3 - 4 \rightsquigarrow E(\mathbb{Q}) \cong \mathbb{Z}^1$ , wobei z.B.  $P_n = (2, 2)$  Erzeuger ist.  
• Im Bsp. 3.) und 4.):  $\text{Rg } E(\mathbb{Q}) = 0$ . [ohne Beweis]
- 12.) Der Rang elliptischer Kurven ist bislang schlecht verstanden.  
Offen, d.h. bislang unbewiesen ist z.B. die  
Rangvermutung:  $\limsup_{E(\mathbb{Q})} r(E) = \infty$ .

D.h. man vermutet, dass es zu jedem  $C \in \mathbb{R}$  eine elliptische Kurve mit  $\text{rg } E(\mathbb{Q}) > C$  gibt. Der aktuelle Weltrekord (2006, von N. Elkies) ist eine elliptische Kurve vom Rang  $\geq 28$  (da 28 "unabhängige" Punkte unendlicher Ordnung auf ihr gefunden wurde, die Kurve lautet

$$y^2 + xy + y = x^3 - x^2 - ax + b$$

$$\text{mit } a = 20\ 067\ 762\ 415\ 575\ 526\ 585\ 033\ 208\ 209\ 338\ 542\ 750\ 930\ 230\ 312\ 178\ 956\ 502$$

$$\text{und } b = 34\ 481\ 611\ 795\ 030\ 556\ 467\ 032\ 985\ 690\ 390\ 720\ 374\ 855\ 944\ 359\ 319\ 180\ 361\ 266\ 008\ 296\ 291\ 939\ 448\ 732\ 243\ 429$$

Die Torsionsgruppe ist deutlich besser verstanden:

13.) Satz von Nagell-Lutz (Nagell 1935, Lutz 1937):

Sei  $E(\mathbb{Q})$  eine elliptische Kurve mit Gleichung  $y^2 = x^3 + ax^2 + bx + c$ ,  $a, b, c \in \mathbb{Z}$ , und seien  $P_1, \dots, P_s$  alle Torsionspunkte, d.h.  $T = \{P_1, \dots, P_s\}$ .

Schreibe die  $P_i = (x_i, y_i) \in \mathbb{Q}^2$ .

Dann sind alle  $x_i, y_i \in \mathbb{Z}$ , und für  $y_i \neq 0$  gilt  $y_i^2 \mid \Delta(E)$ .

14.) Satz von Mazur (1977):

Sei  $E(\mathbb{Q})$  eine elliptische Kurve mit Gleichung  $y^2 = x^3 + ax^2 + bx + c$ ,  $a, b, c \in \mathbb{Z}$ , mit Torsionsuntergruppe  $T$ . Dann ist  $T \cong \mathbb{Z}_m$  mit  $m \leq 12$ ,  $m \neq 11$ ,  
oder  $T \cong \mathbb{Z}_2 \times \mathbb{Z}_m$  mit  $m \in \{2, 4, 6, 8\}$ .

Andere Torsionsuntergruppen kann es nicht geben, und alle genannten kommen vor.

Das sind beachtliche, tiefe Sätze. In Bsp. 4.) ist  $T \cong \mathbb{Z}_5$  und man kann sehen, dass der Nagell-Lutz-Satz hier korrekt ist:  $4^2 \mid \Delta(E)$ .

Für  $a, b, c \in \mathbb{Z}$  kann es höchstens endlich viele Punkte mit ganzzahligen Koordinaten geben:

15.) Satz von Siegel (1926): Sei  $E(\mathbb{Q}): y^2 = x^3 + ax^2 + bx + c$  mit  $a, b, c \in \mathbb{Z}$  eine elliptische Kurve. Dann gibt es nur endlich viele Kurvenpunkte  $(x, y) \in E(\mathbb{Q}) \cap \mathbb{Z}^2$ .  
[Historische Bem.: Siegel veröffentlichte den ersten Beweis 1926 unter dem Pseudonym "X"]

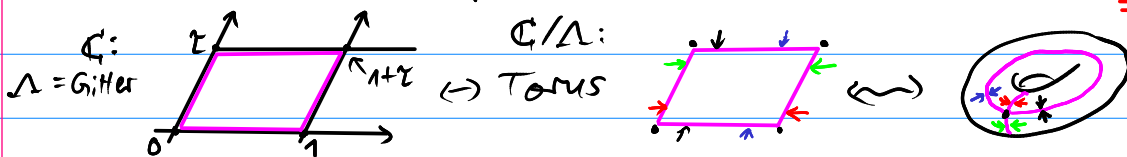
- 16.) Im Bsp. 2.) haben genau die Punkte  $\mathcal{O}$ ,  $(-2, \pm 3)$ ,  $(-1, \pm 4)$ ,  $(2, \pm 5)$ ,  $(4, \pm 9)$ ,  $(8, \pm 23)$ ,  $(43, \pm 282)$ ,  $(52, \pm 375)$ ,  $(5234, \pm 378661)$  auf der elliptischen Kurve  $E(\mathbb{Q})$  ganzzahlige Koordinaten.
- 17.) Ellipt. Kurven über  $\mathbb{Q}$  sind nicht-sing. alg. Kurven vom Geschlecht 1. Mordell vermutete, dass jede über  $\mathbb{Q}$  def. nicht-sing. alg. Kurve vom Geschlecht  $\geq 2$  höchstens endl. viele Punkte enthält. Diese Vermutung wurde 1983 von G. Faltings für bel. Körper bewiesen, wofür er 1986 auf der ICM in Berkeley mit der Fieldsmedaille ausgezeichnet wurde.

### §3.2 Elliptische Kurven über $\mathbb{C}$

- 18.) Elliptische Kurven über  $\mathbb{C}$  können einerseits über die Weierstraßglg. dargestellt werden und zum anderen über ihre Legendre-Normalform mit einer Glg. der Form  $y^2 = x(x-1)(x-\lambda)$ , vgl. (Übungsaufgabe 2a), Blatt 6.
- Wir besprechen hier kurz die dritte Darstellung mittels elliptischer Funktionen; ein ganzer Teil der Funktionentheorie behandelt die Theorie elliptischer Funktionen. Wir möchten hier nur erläutern, warum eine elliptische Kurve über  $\mathbb{C}$  in diesem Sinne ein Torus ("Doughnut") ist.

Geg. sei  $\tau \in \mathbb{C} \setminus \mathbb{R}$ , betr. das Gitter  $\Lambda := \{a + \tau \cdot b; a, b \in \mathbb{Z}\} \subseteq \mathbb{C}$ .

- 19.) Def.: Eine Funktion  $f: \mathbb{C} \setminus \mathcal{P} \rightarrow \mathbb{C}$  der Form  $f(z) := \frac{g(z)}{h(z)}$ ,  $g, h$  holomorph,  $h \neq 0$ , heißt elliptische Funktion, falls  $f(z+w) = f(z)$  für alle  $z \in \mathbb{C}$  und  $w \in \Lambda$ , (sofern  $f(z), f(z+w)$  definiert ist, wobei  $\mathcal{P} = \{z; h(z) = 0\}$  die Menge der Polstellen von  $f$  ist), d.h. wenn  $f$  (doppelt-)periodische Funktion zu  $\Lambda$  ist. Der Körper der elliptischen Funktionen über  $\Lambda$  sei  $\mathbb{C}(\Lambda)$ .



Konstruktion eines Torus zum Gitter  $\Lambda \subseteq \mathbb{C}$ :  $\mathbb{C}/\Lambda := \{z + \Lambda; z \in \mathbb{C}\}$ . Jedes  $z + \Lambda$  kann repräsentiert werden als  $z + \Lambda = z' + \Lambda$  mit  $z' = u + v\tau, u, v \in [0, 1[$  (hier rosa Bereich  $\leadsto$  "Fundamentalparallelogramm"; die Randverklebung ergibt Torus).

Eine elliptische Funktion ohne Polstellen (oder ohne Nst.) ist konstant (wg. Satz von Liouville aus der Funktionentheorie).

20.) Def.: Zu  $\Lambda$  def.  $\wp(z) := \frac{1}{z^2} + \sum_{\substack{\omega \in \Lambda \\ \omega \neq 0}} \left( \frac{1}{(z-\omega)^2} - \frac{1}{\omega^2} \right)$ ,  $\wp: \mathbb{C} \setminus \Lambda \rightarrow \mathbb{C}$ ,

und  $G_{2k}(\Lambda) := \sum_{\substack{\omega \in \Lambda \\ \omega \neq 0}} \frac{1}{\omega^{2k}} \in \mathbb{C}$ . Dann heißt  $\wp$  die Weierstraß-p-Funktion und  $G_{2k}$  heißt Eisensteinreihe vom Gewicht  $2k \in \mathbb{R}_{>2}$ .  
(Englische Anleitung zur Aussprache: "pay-function")

21.) Satz: Sei  $\Lambda$  ein Gitter.

a) Die Eisenstein-Reihe  $G_{2k}(\Lambda)$  konvergiert absolut für  $k > 1$ .

b) Die Reihe der Fkt.  $\wp$  konvergiert absolut und gleichmäßig auf jeder kompakten Teilmenge von  $\mathbb{C} \setminus \Lambda$ . Sie definiert eine elliptische Funktion mit zweifachen Pol in jedem Gitterpunkt  $\omega \in \Lambda$ .

Es gilt somit  $\wp'(z) = -2 \sum_{\substack{\omega \in \Lambda \\ \omega \neq 0}} \frac{1}{(z-\omega)^3}$  für  $z \in \mathbb{C} \setminus \Lambda$ . Die Funktionen  $\wp$

und  $\wp'$  liefern den "Prototyp" elliptischer Funktionen: Man kann zeigen, dass jede elliptische Fkt.  $f$  schreibbar ist als  $f(z) = \frac{P_1(\wp(z))}{Q_1(\wp(z))} + \wp'(z) \cdot \frac{P_2(\wp(z))}{Q_2(\wp(z))}$ ,  $P_i, Q_i \in \mathbb{C}[z]$ .

22.) Satz: Es gilt  $(\wp'(z))^2 = 4(\wp(z))^3 - g_2 \wp(z) - g_3$ ,  
d.h.  $(\wp(z), \wp'(z)) \in E(\mathbb{C})$  mit Glg.  $y^2 = 4x^3 - g_2x - g_3$ ,  
wobei  $g_2 := 60G_4$ ,  $g_3 := 140G_6$ . Da  $g_2^3 - 27g_3^2 \neq 0$ , d.h.  $\Delta(E) \neq 0$ ,  
handelt es sich bei  $E(\mathbb{C})$  um eine elliptische Kurve.

Haben so die Abb.:  $\varphi: \mathbb{C}/\Lambda \rightarrow \mathbb{P}^2(\mathbb{C})$

$$z + \Lambda \mapsto [\wp(z) : \wp'(z) : 1],$$

$$\text{wobei } \varphi(0 + \Lambda) = [0 : 1 : 0] = \mathcal{O}.$$

Das Bild von  $\varphi$  ist genau die genannte elliptische Kurve  $E(\mathbb{C})$ . Die Abb.  $\varphi: \mathbb{C}/\Lambda \rightarrow E(\mathbb{C})$  ist bijektiv und überträgt die Addition "+" auf  $\mathbb{C}/\Lambda$ , geg. durch  $(x + \Lambda) + (y + \Lambda) := (x + y) + \Lambda$ , auf  $E(\mathbb{C})$ , welche sich als unsere bisher studierte Addition + auf  $E(\mathbb{C})$  erweist. Der Torus  $\mathbb{C}/\Lambda$  wird so mit der elliptischen Kurve  $E(\mathbb{C})$  identifiziert. Umgekehrt ist auch jede elliptische Kurve  $(E(\mathbb{C}), +)$  beschreibbar als Torus  $(\mathbb{C}/\Lambda, +)$ .